

## ANATOMIA DA MADEIRA DE *BERBERIS LAURINA* BILLB.<sup>1</sup>

JOSÉ NEWTON CARDOSO MARCHIORI<sup>2</sup> LUCIANO DENARDI<sup>3</sup>

### RESUMO

A estrutura anatômica da madeira de *Berberis laurina* Billb. é descrita e ilustrada com fotomicrografias.

Palavras-chave: Anatomia da madeira, Berberidaceae, *Berberis laurina*.

### ABSTRACT

The wood anatomy of *Berberis laurina* Billb. is described and illustrated with photomicrographs.

Key words: Wood anatomy, Berberidaceae, *Berberis laurina*.

### INTRODUÇÃO

As Berberidáceas compreendem 14 gêneros e cerca de 200 espécies, nas regiões temperadas do Hemisfério Norte e América do Sul (Pontiroli, 1967), distinguindo-se, juntamente com as Menispermáceas e Ranunculáceas, pela presença de berberina nos tecidos vegetais (Marchiori, 1997).

O gênero *Berberis* L. é o mais numeroso da família e o único representado no hemisfério austral. Com cerca de 170 espécies de arbustos e árvores pequenas na América do Sul, o gênero distribui-se ao longo dos Andes, alcançando o extremo sul da Argentina (Troncoso, 1987). Para o Estado de Santa Catarina, Mattos (1967) relaciona apenas *Berberis laurina* e *Berberis kleinii*. Sob o ponto de vista florístico, o gênero integra o "contingente andino" (Rambo, 1951), ao lado de *Podocarpus*, *Araucaria*, *Escallonia*, *Roupala*, *Weinmannia*, *Drimys* e *Quillaja*, entre outros. Em estudo mais recente, Waechter (2002) inclui *Berberis* L. entre os gêneros holárticos.

Arbusto de espinhos trífidos e lenho amarelo, *Berberis laurina* Billb. apresenta folhas coriáceas de 3–9 cm de comprimento, íntegras ou com dentes espinescentes, dispostas

alternadamente ou em curtos raminhos que simulam folhas verticiladas (Lombardo, 1982). As flores, amarelo-claras, dispõem-se em pequenos racemos pendentes e os frutos, bacáceos e de cor negra, medem de 5–7 mm de comprimento por 3–5 mm de diâmetro (Mattos, 1967). Nativa de Minas Gerais até o Uruguai, a espécie é popularmente conhecida como espinho-de-São-João, espinho-de-São-Simão, São-João (Schultz, 1975), berbéris-da-terra, quina-cruzeiro, uva-de-espinho (Pio Corrêa, 1984), *espina-amarilla* (Lombardo, 1982) e *palo-amarillo* (Herter, 1930).

Sobre a anatomia das Berberidáceas, Metcalfe & Chalk (1972a) relacionam a presença de vasos muito pequenos, em padrão radial ou ulmiforme, de elementos vasculares extremamente curtos, com placas de perfuração simples, pontoações alternas e espessamentos espiralados na parede, de raios homogêneos, tipicamente altos e largos, e de fibras extremamente curtas, septadas em alguns gêneros e com pequenas pontoações simples na parede. Cabe também salientar a ausência de parênquima axial e a estratificação de elementos vasculares (Record & Hess, 1949). O conjunto desses caracteres anatômicos permite considerar as Berberidáceas

<sup>1</sup> Artigo recebido em 19/04/2005 e aceito para publicação em 30/05/2005.

<sup>2</sup> Engenheiro Florestal, Dr., bolsista de Produtividade em Pesquisa do CNPq, Professor Titular do Departamento de Ciências Florestais, Universidade Federal de Santa Maria, CEP 97105-900, Santa Maria (RS). balduinia@mail.ufsm.br

<sup>3</sup> Engenheiro Florestal, bolsista do CNPq, doutorando do Programa de Pós-Graduação em Engenharia Florestal, Universidade Federal de Santa Maria, CEP 97105-900, Santa Maria (RS). lucianodenardi@yahoo.com.br

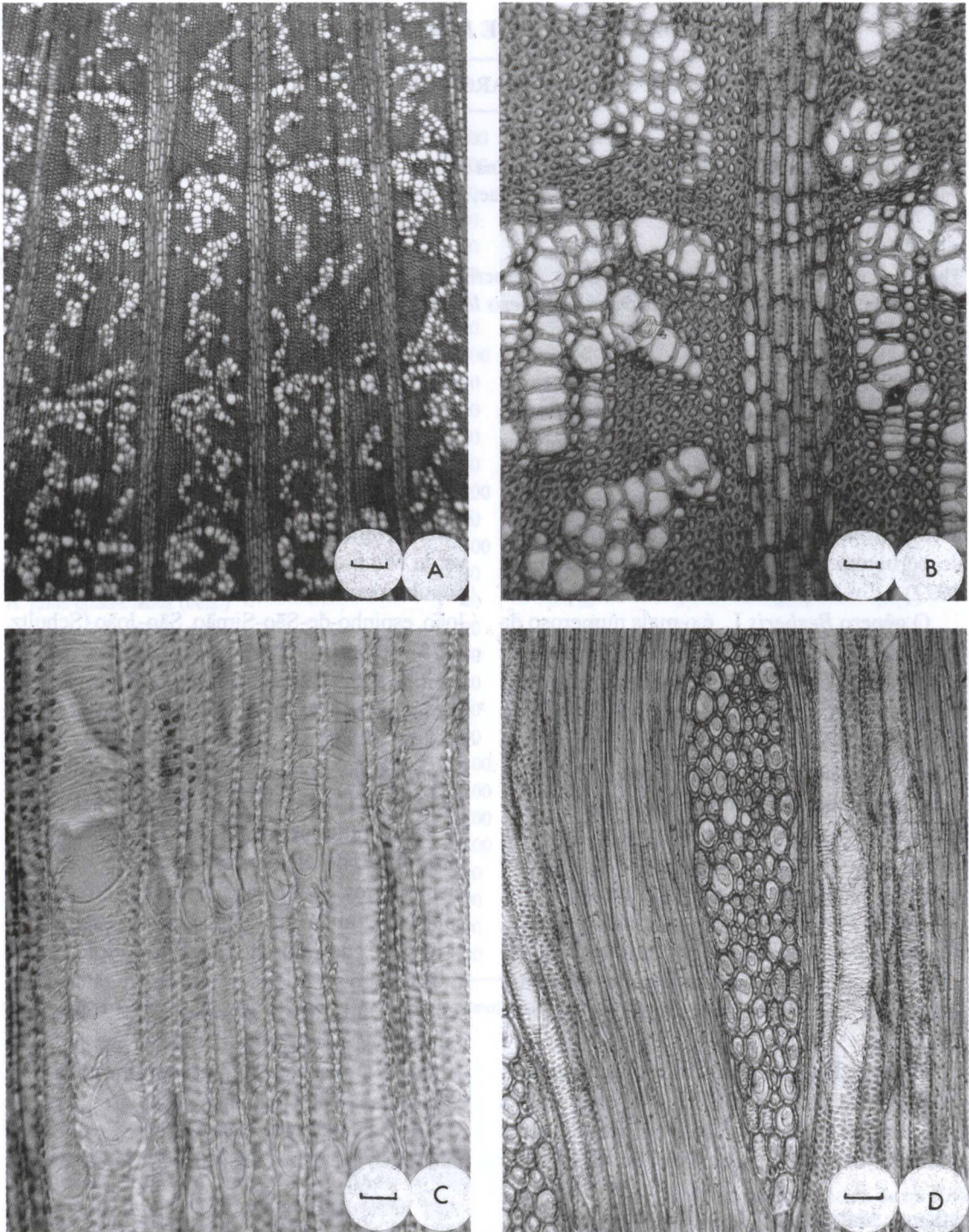


FIGURA 1 – Seção transversal, destacando a porosidade semi-difusa, em padrão dendrítico (A). Poros pequenos de seção poligonal e fibras de paredes delgadas, em seção transversal (B). Elementos vasculares estratificados, com espessamentos espiralados e placas de perfuração simples, em seção longitudinal radial (C). Raios multisseriados, com células envolventes e placas de perfuração oblíquas, em seção longitudinal tangencial (D). Escalas = 100 $\mu$ m (A); = 25 $\mu$ m (B,D); = 50 $\mu$ m (C).

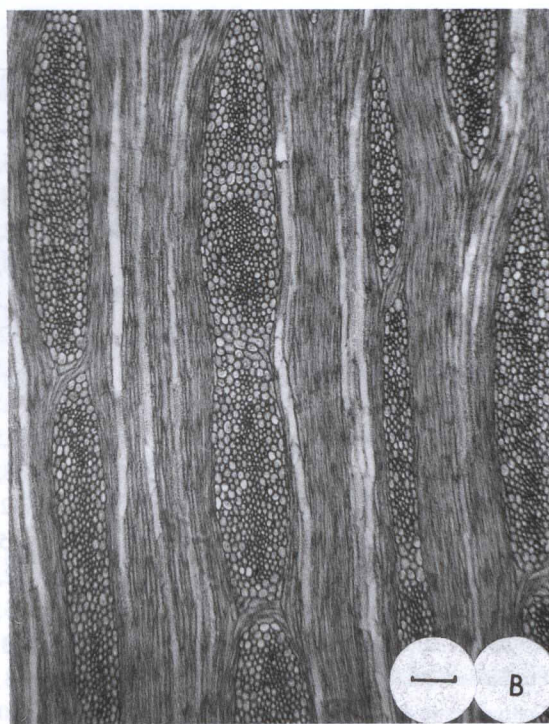
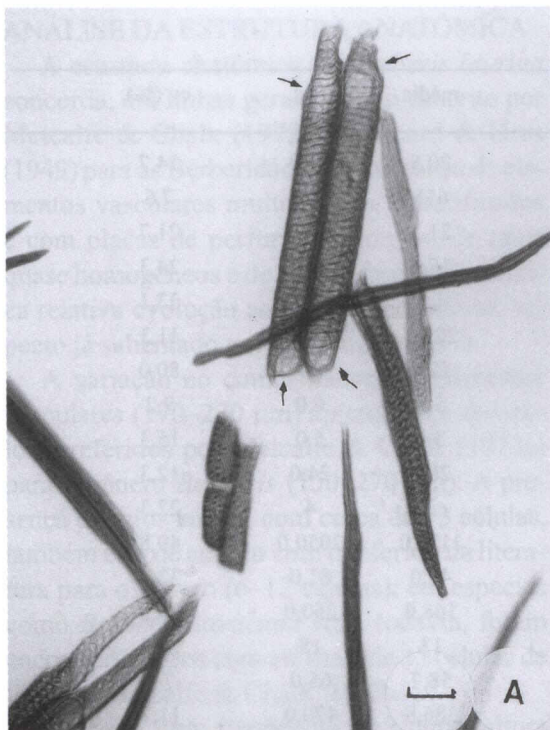


FIGURA 2 – Fibras e elementos vasculares com apêndices curtos (setas), em lâmina de macerado (A). Raios agregados, com células procumbentes de diâmetros variados, em seção longitudinal tangencial (B). Escalas = 50 $\mu$ m (A); = 100 $\mu$ m (B).

como família botânica moderadamente evoluída (Marchiori, 1997).

## MATERIAL E MÉTODOS

O material em estudo foi coletado em Pedras Altas (Pinheiro Machado – RS) e anexado à Xiloteca e Herbário do Departamento de Ciências Florestais da Universidade Federal de Santa Maria (HDCF), sob o número 1777.

Da amostra de madeira, foram confeccionados três corpos-de-prova com 2 cm de lado, extraídos da porção mais externa do lenho e orientados para a obtenção de cortes histológicos nos planos transversal, longitudinal radial e longitudinal tangencial. Um quarto bloco foi também retirado, com vistas à maceração.

No preparo de lâminas histológicas, seguiu-se a técnica padrão no Laboratório de Anatomia da Madeira da Universidade Federal do Paraná: os corpos-de-prova foram amolecidos por fervura em água e seccionados em micrótomo

de deslize, regulado para a espessura nominal de 18  $\mu$ m. Os cortes foram tingidos com acridina-vermelha, crisoidina e azul-de-astra (Dujardin, 1964), desidratados em séria alcoólica, diafanizados em xilol e montados em lâminas permanentes, com “Entellan”.

Para a dissociação do tecido lenhoso, usou-se o método de Jeffrey (Burger & Richter, 1991), seguido de coloração com safranina 1% e montagem de lâminas permanentes, com “Entellan”.

A descrição microscópica baseou-se nas normas da COPANT (1973), com as alterações propostas por Burger (1979) e Marchiori (1980). As fotomicrografias foram tomadas em aparelho Carl Zeiss, no Laboratório de Anatomia da Madeira da Universidade Federal do Paraná.

## DESCRIÇÃO MICROSCÓPICA

**Vasos:** Extremamente numerosos (540–615–668 poros/mm<sup>2</sup>) e em distribuição semi-difusa (Figura 1A), ocupando cerca de 20% da seção

TABELA 1: Dados quantitativos da madeira.

| Característica anatômica                     | min.  | média  | máx.   | cv (%) |
|--|-------|--------|--------|--------|
| Fração de poros (%)                          | 16,0  | 20,5   | 24,0   | 14,7   |
| Frequência de poros (poros/mm <sup>2</sup> ) | 540   | 615    | 668    | 7,6    |
| Ø poros (µm)                                 | 12,5  | 21,3   | 32,5   | 21,7   |
| Ø lume de poros (µm)                         | 10,0  | 17,4   | 27,5   | 24,3   |
| Espessura parede dos poros (µm)              | 1,2   | 1,9    | 2,5    | 33,1   |
| Comprimento de elementos vasculares (µm)     | 172,5 | 229,1  | 270,0  | 11,3   |
| Comprimento de apêndices (µm)                | 7,5   | 22,4   | 90     | 80,0   |
| Ø pontoações intervasculares (µm)            | 4,5   | 5,4    | 6,0    | 9,2    |
| Ø pontoações rádio-vasculares (µm)           | 2,5   | 3,6    | 5,0    | 15,3   |
| Fração de raios (%)                          | 18,0  | 20,8   | 24,0   | 12,3   |
| Frequência de raios (raios/mm)               | 2     | 3      | 4      | 22,3   |
| Altura de raios multisseriados (µm)          | 125,0 | 1117,0 | 2050,0 | 40,8   |
| Altura de raios multisseriados (células)     | 22,0  | 49,0   | 81,0   | 32,4   |
| Largura de raios multisseriados (µm)         | 45,0  | 168,0  | 250,0  | 29,3   |
| Largura de raios multisseriados (células)    | 3     | 13     | 18     | 24,3   |
| Fração de fibras (%)                         | 53,0  | 58,7   | 65,0   | 7,0    |
| Comprimento de fibras (µm)                   | 290,0 | 386,8  | 470,0  | 11,7   |
| Ø total de fibras (µm)                       | 12,5  | 14,6   | 17,5   | 10,1   |
| Ø lume de fibras (µm)                        | 6,2   | 8,4    | 11,3   | 15,5   |
| Espessura parede de fibras (µm)              | 2,5   | 3,1    | 3,8    | 14,5   |

min. = valor mínimo; máx. = valor máximo; cv% = coeficiente de variação; µm = micrômetros; Ø = diâmetro.

transversal da madeira. Vasos em padrão dendrítico; extremamente pequenos (10–17–27 µm), de seção poligonal e com paredes de 1,2–1,9–2,5 µm de espessura (Figura 1A, B). Elementos vasculares muito curtos (172–229–270 µm) e estratificados, providos de apêndices curtos (7–22–90 µm) e espessamentos espiralados na parede (Figura 1C, 2B). Placas de perfuração simples, oblíquas (Figura 1C, D). Pontoações intervasculares alternas, pequenas (4,5–5,4–6,0 µm) e poligonais, com abertura lenticular inclusa; pontoações rádio-vasculares pequenas e arredondadas (2,5–3,6–5,0 µm). Gomas, resinas e tilos, ausentes nos vasos.

**Parênquima axial:** Ausente.

**Raios:** Pouco numerosos (2–4/mm), ocupando 21% do volume da madeira. Tecido radial homogêneo a fracamente heterogêneo, por vezes com células quadradas nas extremidades, composto por células procumbentes de diâme-

tros variados em seção longitudinal tangencial (Figura 2A). Raios exclusivamente multisseriados e por vezes agregados (Figura 2A), com células envolventes (Figura 1D). Raios com mais de 4 células de largura, com escassos tetrasseriados e trisseriados; variam de muito baixos a muito altos (125–1117–2050 µm), com 22–49–81 células de altura, e de finos a muito largos (45–168–250 µm), com 3–13–18 células de largura (Figura 1D, 2A).

**Fibras:** Tecido fibroso proeminente (59%), composto de fibras libriformes não septadas (Figura 1D) extremamente curtas (290–387–470 µm), estreitas (6,2–8,4–11,3 µm) e de paredes delgadas, com 2,5–3,1–3,8 µm de espessura (Figura 1B).

**Outras características:** Anéis de crescimento marcados por fibras radialmente estreitas no lenho tardio e poros de maior diâmetro no início do anel seguinte (Figura 1A, B).

## ANÁLISE DA ESTRUTURA ANATÔMICA

A estrutura anatômica de *Berberis laurina* concorda, em linhas gerais, com o descrito por Metcalfe & Chalk (1972a) e Record & Hess (1949) para as Berberidáceas. A presença de elementos vasculares muito curtos, estratificados e com placas de perfuração simples, de raios quase homogêneos e de fibras libriformes, indica relativa evolução ao xilema secundário, aspecto já salientado por Marchiori (1997).

A variação no comprimento de elementos vasculares (170–270 µm) aproxima-se dos valores referidos por Metcalfe & Chalk (1972a) para o gênero *Berberis* (150–270 µm). A presença de raios largos, com cerca de 13 células, também está de acordo com o referido na literatura para o gênero (6–12 células); em espécies como *Berberis kavacana* Hay, todavia, foram encontrados raios com até mais de 25 células de largura (Metcalfe & Chalk, 1972a).

Os raios, com frequência de 3/mm e altura superior a 1 mm, subdividem-se, por vezes, em unidades menores, aspecto também referido para *Berberis kavacana*. A presença de células envoltivas, observada no material em estudo, foi também assinalada para *Berberis darwinii* Hook., por Metcalfe & Chalk (1972a).

Na espécie em estudo, os valores de comprimento de fibras (290–470 µm) concordam com o referido na literatura (300–750 µm) sobre o gênero. Cabe salientar, ainda, a ausência de parênquima axial no material examinado; essa estrutura, comum à grande maioria das angiospermas dicotiledôneas, é também ausente no lenho de algumas Flacurtiáceas (Burger & Richter, 1991) e Apocináceas de fibras septadas (Metcalfe & Chalk, 1972b).

## BIBLIOGRAFIA

Burger, L. M., Richter, H. G. **Anatomia da Madeira**. São Paulo: Ed. Nobel, 1991. 154 p.  
Burger, L. M. **Estudo anatômico do xilema secundário de sete espécies nativas do gênero *Dalbergia*, Leguminosae-Faboideae**. Curitiba: UFPR, 1979. 184f. Dissertação (Mestrado em

Engenharia Florestal) - Universidade Federal do Paraná.

- Copant – Comissão Panamericana de Normas Técnicas. **Descrição macroscópica, microscópica e geral da madeira** – esquema I de recomendação. Colômbia, 1973. 19p. (COPANT 30).
- Dujardin, E. P. Eine neue Holz-Zellulosenfaerbung. **Mikrokosmos**, n. 53, p. 94, 1964.
- Herter, G. **Estudios botánicos en la región uruguaya**. Montevideo: 1930. 191p.
- Lombardo, A. **Flora Montevidensis**. Montevideo: Intendencia Municipal, 1982. v. 1. 316p.
- Marchiori, J. N. C. **Estudo anatômico do xilema secundário de algumas espécies dos gêneros *Acacia* e *Mimosa*, nativas no Estado do Rio Grande do Sul**. Curitiba: UFPR, 1980. 186f. Dissertação (Mestrado em Engenharia Florestal) - Universidade Federal do Paraná.
- Marchiori, J. N. C. **Dendrologia das Angiospermas: das Magnoliáceas às Flacurtiáceas**. Santa Maria: UFSM, p. 91-95, 1997.
- Mattos, J. R. Berberidáceas. In: Reitz, P. R. **Flora Ilustrada Catarinense**. Itajaí: Herbário Barbosa Rodrigues, 1967. 15p.
- Metcalfe, C. R., Chalk, L. **Anatomy of the Dicotyledons**. Oxford: Clarendon Press, 1972a. v. 1. p. 59.
- Metcalfe, C. R., Chalk, L. **Anatomy of the Dicotyledons**. Oxford: Clarendon Press, 1972b. v. 2. p. 905.
- Pio Corrêa, M. **Dicionário das plantas úteis do Brasil**. Rio de Janeiro: Imprensa Nacional, 1926-1978. v. 2. p. 596-597.
- Pontiroli, A. Berberidaceae. In: Cabrera, A. L. **Flora de la Provincia de Buenos Aires**. Buenos Aires: Colección Científica del I.N.T.A., 1997. v. 3, p. 257-260.
- Rambo, B. O elemento andino no pinhal riograndense. **Anais Botânicos**, Itajaí, n. 3, p. 7-39, 1951.
- Record, S. J., Hess, R. W. **Timbers of the New World**. New Haven: Yale University Press, 1949. 639p.
- Troncoso, N. S. Berberidaceae. In: Burkart, A. **Flora Ilustrada de Entre Rios** (Argentina). Buenos Aires: Colección Científica del INTA, 1987. v. 6. p. 321-323.
- Schultz, A. R. Os nomes científicos e populares das plantas do Rio Grande do Sul. Porto Alegre: PUC/EMMA, 1975. 164p.
- Waechter, J. L. Padrões geográficos na flora atual do Rio Grande do Sul. **Ciência & Ambiente**, Santa Maria, n. 24, p. 93-108, 2002.